

防衛大学校 (a) 山口 晴幸
 " " 大平 至徳
 " " 木暮 敏二

1. はじめに 粘性土等の普通土では、室内試験からせん断特性を検討する際にあらかじめ重要な(i)圧密圧力の載荷方法の相違による影響(ii)バックプレッシャーの効果(拘束圧力の大きさの影響)(iii)せん断時の応力載荷経路の影響などの基本的事項についての報告はかなりなされていてある。いわゆる土のせん断特性を論じるに当て、信頼できるデータ確保のための適切な試験手法が確立されていると考えられる。本文は、特殊土として分類される泥炭について、上述の諸事項を明らかにすることを目的として、各種の試験条件下で非排水三軸試験を実施した結果について記述し、泥炭の非排水せん断特性も、粘性土と同様に、有効応力表示に基づいて整理を試みることを示している。

2. 試料と試験 関東地方の大宮及び浦和市郊外から採取した不搅乱泥炭試料を用い、直徑50mm、高さ125mmに成形した供試体を水中で三軸セル内にセットして、全て等方正規圧密した後、4種類の一連の非排水三軸試験を実施した。

i) 圧密時の拘束圧力の載荷方法が異なる試験：図-1に示すように、100kPaのバックプレッシャーを作用し所定の拘束圧力(σ_c)までの応力の載荷方法を変えて行う非排水圧縮試験。

ii) バックプレッシャーの大きさが異なる試験：図-2に示すように、バックプレッシャー(σ_{BP})の大きさを0~300kPaと5種類に変えて行う非排水圧縮試験。

iii) せん断時の拘束圧力が異なる試験：図-1での(c)の方法で所定の拘束圧力(σ_c)まで圧密した後、せん断時の拘束圧力を表-1のように変えて行う非排水圧縮試験。

iv) せん断時の載荷応力経路が異なる試験：図-1での(c)の方法で所定の拘束圧力まで圧密した後、図-3に示す6種類の載荷経路に基づく非排水圧縮・伸張試験。

以上の各一連の試験には、初期状態のほぼ等しい供試体が用いられた。初期隙比 $e_i = 10 \sim 12$ 、強熱減量値 $\approx 65 \sim 75\%$ 、比重 $G_P = 1.55 \sim 1.65$ 。また、i)~iii)での試験はひずみ制御(ひずみ速度 $= 0.05\%/\text{min}$)、iv)での試験は応力制御で行われ、供試体底部での間隙水圧を計測した。

3. 結果と考察

i) 圧密圧力の載荷方法の影響 図-1に示す拘束圧力の載荷方法が異なる3種類の試験結果を図-4と5に示す。図-4は有効応力

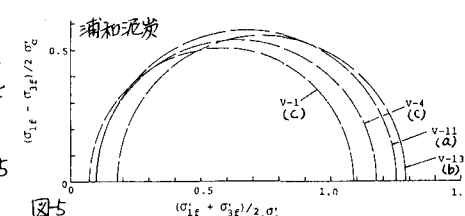


図-5

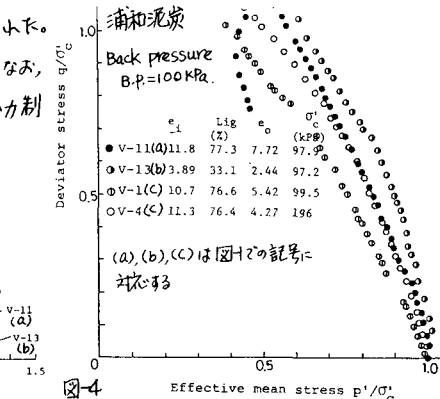


図-4

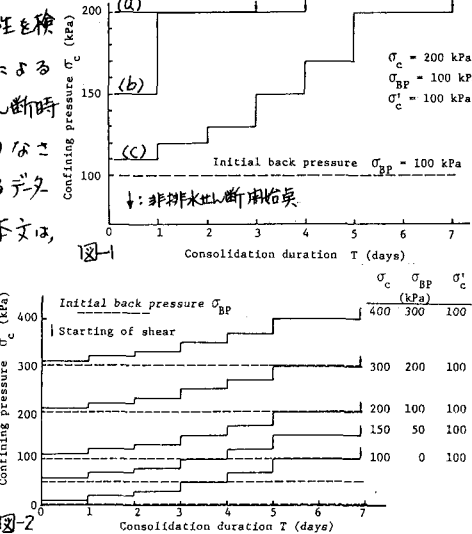
Effective mean stress p'/σ'_c 

図-1

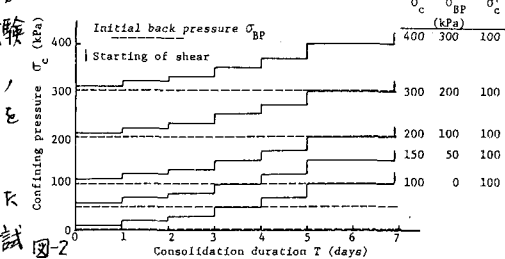
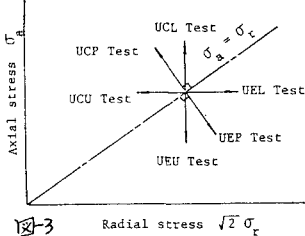


図-2

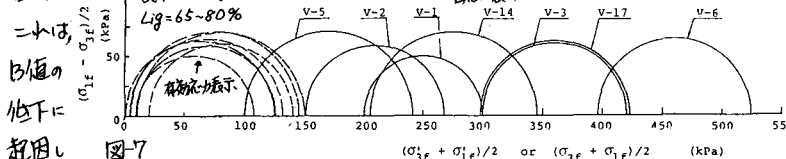
| No. | End of isotropic consolidation | | Beginning of shear | | Failure ($\sigma_f - \sigma'_f$) _{max} | | | |
|------|--------------------------------|----------------------|---------------------|----------------------|---|------------------------|-------------------------|-------------------------|
| | σ_c (kPa) | σ'_c (kPa) | σ_c (kPa) | σ'_c (kPa) | σ_{if} (kPa) | σ_{3f} (kPa) | σ'_{if} (kPa) | σ'_{3f} (kPa) |
| H-3 | 200 | 99 | 200 | 99 | 302 | 200 | 144 | 42 |
| H-10 | 201 | 100 | 300 | 101 | 408 | 300 | 151 | 43 |
| H-11 | 199 | 95 | 400 | 98 | 505 | 400 | 149 | 44 |

表-1

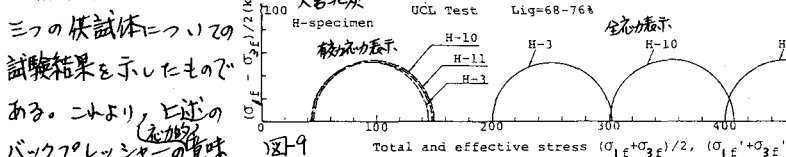
図-3 Radial stress $\sqrt{2} \sigma_r$

経路で、図5は破壊時のモールの応力円を有効応力表示したものである。両試験結果から、圧密手法の相違は泥炭の非排水せん断挙動を大きく左右する基本的因素には成り得ないであろう。ただ、図4での(A)or(C)のような手法を取ると圧密中の間隙水圧の消散が悪く、圧密度の低下を引き起しがちであった。

2)バックアレッシャーと拘束圧力(全応力)の影響 図6と7はバックアレッシャー(D_{BP})を0~300kPaの範囲で各種に変えて一連の試験結果を示したものである。 $D_{BP}=0$ の下で圧密された供試体では、有効応力経路が原点から最も遠ざかる傾向が見られる(図6)。



二つめは、 D_{BP} の値によっても異なると言える。また、泥炭では、粘性土に比較して大きなバックアレッシャーでは構造の乱れが著しく生じ、それがせん断特性に影響をおよぼすと期待していたが、 $D_{BP}=300$ kPa下での挙動もそのような兆候は認められない。そこで、図7に示す有効応力表示によるモールの応力円群(破線、実線が全応力表示)からもわかるように、飽和泥炭の強度定数を求める際にも、通常、土の試験で採用されている100kPa程度のバックアレッシャーの作用が適当であると言える。図8と9はせん断時の拘束圧力(σ_c')(全応力)は異なるが有効応力(σ'_c)の差はない。



三つの供試体についての試験結果を示したものである。二つより述べたバックアレッシャーの意味

と同様、泥炭の非排水せん断試験結果も有効応力表示に基づいて整理を得ることがわかる。

3)戴荷経路の影響 6種類の戴荷経路の下での非排水圧縮と伸張試験結果を図10と11に示す。不搅乱泥炭では等方圧密後も異方構造が著しく残存しており、圧縮と伸張下での挙動は極端に異なる。しかし、X-Y-Zの応力空間(圧縮か伸張か)での挙動は応力の戴荷経路に依存しないといふみならず、有効応力に基づいて統一的に表示することが可能であると言える。

4. あくび 各種試験条件下で実 図10 E_a (%)

施した泥炭の非排水せん断挙動に関する試験結果から、植物性維持有機物を多量に含むいる飽和泥炭についても、有効応力概念の適用が可能であることを、泥炭の室内三軸試験に際する適切な試験手法確立のための一端を明らかにした。(参考) 1) 沢井(1963): 土管会議論文集第17号, p.17. 2) 北野(1976): 土工学論文集第21号, p.15-22. 3) 田辺(1984): 第1回土壤力学研究会講演集「地盤力学・地盤工学における~」。

